

九州大学工学部 正員 栗谷陽一  
 九州工業大学 正員 ○藤崎一裕  
 九州工業大学 学生員 大浦芳弘

## 1. まえがき

沈降性粒子の移流分散に及ぼす密度勾配の影響について調べた。水路底部への粒子の沈積がない場合を解析の対象とし、流れは開水路2次元とした。

渦動粘性係数と鉛直方向密度勾配との関連については、Monin-Obukhovの相似理論を用い、流下方向密度勾配が粒子流束に及ぼす影響は擾動法により求めた。

## 2 基礎方程式

図1のように河床流下方向にX軸、Y軸に垂直上方にZ軸となり、流れはX-Z平面内の2次元等流となると、X、Z方向の運動方程式と流体及び物質の保存則は、次式で示されよう。

$$0 = \rho g i - \frac{\partial p}{\partial x} + \frac{\partial}{\partial z} (\rho \varepsilon \frac{\partial u}{\partial z}) \quad (1)$$

$$0 = -\rho g - \frac{\partial p}{\partial z} \quad (2)$$

$$d/dx \left( \int^h u dz \right) = 0 \quad (3)$$

$$\mu \frac{\partial c}{\partial x} = \frac{\partial}{\partial z} \left( \varepsilon \frac{\partial c}{\partial z} + w_c c \right) \quad (4)$$

ここで、  
 $\rho$ : 懸濁液のみかけ密度、  
 $p$ : 圧力、  
 $u$ : X方向流速、  
 $w_c$ : 粒子沈降速度、  
 $h$ : 水深、  
 $\varepsilon$ : 渦動粘性係数、  
 $\varepsilon_*$ : 渦拡散係数、  
 $i$ : 水面勾配である。濃度 $c$ の値は小さく、密度との関係は(5)式で近似されると  
 $P = P_0 (1 + \alpha C)$  (5)

$\rho$ : 流体の密度、 $\alpha$ : 定数である。濃度のX方向の変化が小さい場合を想定しているから、Xについて展開して必要な次数で打ち切るとすると

$$C(x, z) = \bar{C}(z)(1 + Kx) + Kx F(z) \quad (6)$$

と表わされ、定数KはZには独立な一定の微小量で

$$K = \frac{1}{\langle C \rangle} \frac{d\langle C \rangle}{dx} \quad (7)$$

と表わされる。 $\langle \rangle$ は全水深についての平均を意味する。

Monin & Obukhovの理論によると、渦動粘性係数と密度勾配との関連は次式で表わされう。<sup>(1), (2)</sup>

$$\varepsilon = \varepsilon_* (1 - \beta R_f) \quad (8)$$

$$\beta : \text{定数}, \varepsilon_* :$$

$$R_f = 0 \text{ のときの } \varepsilon$$

$$R_f = \frac{g/\rho - \overline{Pw}}{-\overline{u'w'} \frac{\partial u}{\partial z}} \quad (9)$$

$w$ : Z方向流速、 $'$ は時間変動成分を表わす。(8)式は局所Richardson数 $R_f$ を用いると次式で表わされう。

$$\varepsilon = \varepsilon_* (1 - \gamma \beta R_f) \quad (10)$$

$$R_f = \frac{-g(\partial P / \partial z)}{\rho (\partial u / \partial z)^2}, \quad \gamma = \frac{R_f}{R_*} \quad (11)$$

渦動粘性係数と流速分布との関係には混合距離理論を用い、濃度 $C = 0$ のときの流速分布に対数則を仮定すると

$$\tau = \rho \varepsilon_* \frac{du}{dz} \quad \varepsilon_* = \ell^2 \frac{du}{dz} \quad (12)$$

$$\ell = KZ / \sqrt{1 - \gamma/h} \quad (13)$$

となる。τ: 剪断応力、 $\ell$ : 混合距離、K: カルマンの定数である

(5), (6)式を(2)式に代入して $P$ を求めるか、これと(1)式に代入すると次式がえられる

$$0 = 1 - \frac{K}{F_r} \int_1^h \bar{c} d\eta + \frac{d}{d\eta} \left( \bar{\varepsilon} \frac{d\bar{u}}{d\eta} \right) \quad (14)$$

$$F_r^2 = \frac{u_*^2}{\alpha \langle C \rangle g h}, \quad (u_* = \sqrt{g K h}) \quad (15)$$

また、(5), (4)式から

$$\bar{F} \frac{\partial \bar{c}}{\partial x} = \frac{\partial}{\partial \eta} \left( \bar{\varepsilon}_* \frac{\partial \bar{c}}{\partial \eta} + w_c \bar{c} \right) \quad (16)$$

が導かれう。 $\bar{\varepsilon}$ についても同様に、(10), (11), (8)式などから、次式がえられる

$$\bar{\varepsilon} = \kappa \eta \left\{ 1 - \bar{K} \frac{1}{F_r^2} \int_1^h \int_1^h \bar{c} d\eta d\eta \right\} \left\{ 1 - \beta \gamma R_f \right\} \quad (17)$$

$$R_f = -\frac{1}{F_r^2} \left\{ \frac{1}{\langle C \rangle} \frac{d\bar{c}/dz}{(\partial u / \partial z)^2} - \bar{K} \frac{dF_r / dz}{(\partial u / \partial z)^2} \right\} \quad (18)$$

上式中、 $\eta: z/h$ ,  $\bar{x}: x/h$ ,  $\bar{K} = K \cdot h$ ,  $\bar{u} = u/u_*$

$W = u_0 / u_*$ ,  $\bar{E} = E / (\kappa u_*)$ ,  $E_* = E_* / (\kappa u_*)$  である。

(14), (16), (17) 式の解を  $\bar{F}$  をパラメータとする  
攝動法により求めらる

$$\begin{aligned} \bar{U} &= u_0 + \bar{R} u_1 + \bar{R}^2 u_2 + \dots \\ F &= F_0 + \bar{R} F_1 + \bar{R}^2 F_2 + \dots \\ \bar{E} &= E_0 + \bar{R} E_1 + \bar{R}^2 E_2 + \dots \end{aligned} \quad \left. \right\} \quad (19)$$

とおき、上式を (14), (16), (17) 式に代入して

$$\bar{R}^0: 1 + \frac{d}{d\eta} \left( E_0 \frac{du_0}{d\eta} \right) = 0 \quad (20)$$

$$\frac{d}{d\eta} \left( E_0 \frac{d\bar{C}}{d\eta} + W \bar{C} \right) = 0 \quad (21)$$

$$E_0 = K \gamma (1-\gamma) (1 - \beta R_{io}), \quad (R_{io} = \frac{-1}{\zeta \bar{F}_r^2} \frac{dE/d\eta}{(du/d\eta)^2}) \quad (22)$$

$$\bar{R}: -\frac{1}{\bar{F}_r^2} \int_0^1 \bar{C} d\eta + \frac{d}{d\eta} \left( E_0 \frac{du_0}{d\eta} + E_0 \frac{du_0}{d\eta} \right) = 0 \quad (23)$$

$$\hat{u}_{so} \bar{C} = \frac{d}{d\eta} \left( E_0 \frac{d\bar{F}_r}{d\eta} + W F_0 \right) \quad (24)$$

$$\hat{u}_{so} = u_0 - u_{so}, \quad u_{so} = \langle u_s \bar{C} \rangle / \langle C \rangle$$

$$E_1 = -\frac{1}{\bar{F}_r^2} K \gamma \left( \int_0^1 \bar{C} d\eta d\eta (1 - \beta R_{io}) - K \gamma (1-\gamma) \cdot \beta \cdot R_{ii} \right) \quad (25)$$

$$R_{ii} = R_{io} \cdot (dF/d\eta) / (dE/d\eta)$$

などがえられる。ただし、 $\bar{E} = \bar{E}_*$  (したがつて  $\gamma = 1$ ) として。

$\chi = 0$  における粒子拡散流束の断面積分値及び移流分散係数  $D_L$  はそれそへ以下の式でえられる。

$$\langle (\bar{U} - u_{so}) \bar{C} \rangle = \langle (u_0 - u_{so}) \bar{C} \rangle + \bar{R} \langle u_i \bar{C} \rangle + \bar{R} \langle (u_0 - u_{so}) F_0 \rangle$$

$$D_L / (\kappa u_*) = - \langle (u_0 - u_{so}) F_0 \rangle - \langle u_i \bar{C} \rangle \quad (26)$$

### 3 計算結果と考察

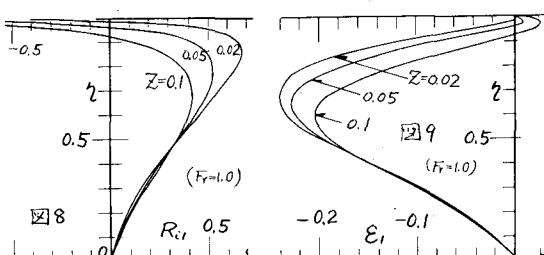
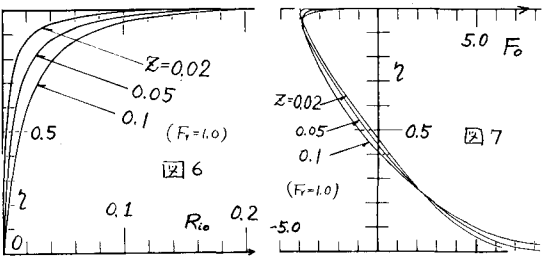
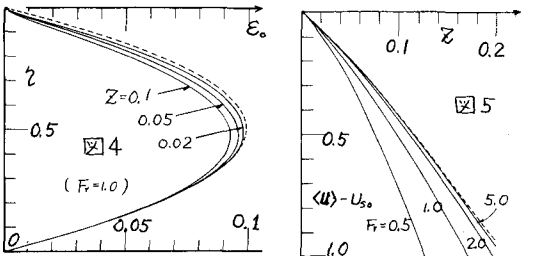
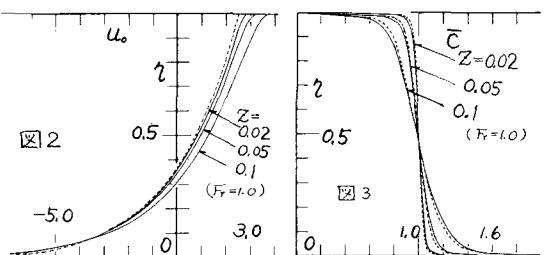
図 2～図 6 に、(20)～(22) 式で求めた、流下方向に濃度勾配がない場合の解を示す。図 3 中の破線は

Rouse の濃度分布 ( $\sin \pi z / (\pi z \cdot (1-z)^2 / \gamma^2)$ ) である。図 7～図 10 には式の 1 次に比例する項の解を示す。

図 2, 3, 4, 5, 11 中の破線は密度流の影響を考慮しない場合の値である。これらの図から、 $\bar{F}_r$  の値が小さくなり、相対的に密度勾配の影響が大きくなるにつれて、渦動分散係数、流速分布や粒子濃度分布に変化が生じ、分散係数が増大していく様子を知ることができる。なお、数値計算では  $K = 0.4$ ,  $\beta = 5.0$ <sup>4)</sup> とし、数値積分は台形公式を用いた。

### 参考文献

- 1) 各一部編：流体力学の進歩—乱流、丸善、pp.195～, 1979
- 2) Turner, J.S.: Buoyancy Effects in Fluids, Cam.Univ.Press, pp.130～, 1973



3) Sumer, B.M.: J. Fluid Mech., Vol.65, part 1, pp.11~28, 1974

4) T. Itakura & T. Kishi : PASCE, Vol.106, No.HY8, pp.325~343, 1979